Маршрутизация формации мобильных роботов методом упреждающего управления

К. Ф. Φ ам¹, Н. Б. Φ илимонов²

¹МГТУ им. Н. Э. Баумана ²МГУ им. М.В. Ломоносова

hvktqs1421996@gmail.com, nbfilimonov@mail.ru

Аннотация. В данной статье рассматривается метод согласованного планирования пути для мобильных роботов (МР), организованной по стратегии «ведущий-ведомый». Каждый MP в формации формирует собственную задачу планирования пути на основе согласованной информации о положении виртуального ведущего (ВВ), достигаемой посредством механизма консенсуса. Задача планирования представляет собой оптимизационную задачу управления с прогнозирующей моделью (МРС), содержащую невыпуклые ограничения. Для ее эффективного решения используется метод последовательного выпуклого программирования (SCP). Также анализируется структура коммуникационной сети, гарантирующая достижение согласованности между МР. Результаты численного моделирования в MATLAB демонстрируют эффективность и работоспособность предложенного подхода.

Ключевые слова: согласованное планирование пути; обратная связь формации; стратегия ведущий-ведомый; распределенное MPC; алгоритм консенсуса; мобильный робот

I. Введение

Планирование пути и траектории мобильного робота представляет собой ключевой безопасной и эффективной навигации в робототехнике и автономных системах. Задача планирования заключается в построении геометрического маршрута, тогда как планирование траектории дополняет этот маршрут временными характеристиками. Подходы к планированию пути классифицируются на глобальные и локальные методы [1]. Глобальные методы, такие как метод быстрорастущего случайного дерева [2], метод роя частиц [3] и генетические алгоритмы [4], предполагают наличие полной априорной информации об окружающей среде. Они демонстрируют высокую эффективность в статических условиях И позволяют получать оптимальные или близкие к оптимальным решениям, отличаются высокой вычислительной сложностью. Локальные методы, включая метод искусственного потенциального поля [5], алгоритм А* [6] и муравьиный алгоритм [7], опираются на сенсорные данные, получаемые в реальном времени, что делает их особенно подходящими для навигации в динамически изменяющихся условиях. Такие методы обеспечивают быструю реакцию на изменения среды, однако зачастую уступают в плане глобальной оптимальности.

Управление с прогнозирующей моделью (Model Predictive Control, MPC) представляет собой вычислительный метод оптимального управления, при котором управляющее воздействие формируется путем решения задачи оптимизации на конечном горизонте предсказания с учетом ограничений динамики системы [8]. Благодаря своей способности учитывать будущие состояния, MPC получил широкое распространение в

задачах управления движением роботов [9]. Предсказательная характеристика метода позволяет эффективно объединять задачи обнаружения и обхода препятствий, а также отслеживания траектории в рамках единой оптимизационной задачи, что делает МРС особенно перспективным для планирования движения в динамически изменяющейся среде [10].

работе настоящей предлагается метол согласованного планирования пути для формации МР, управляемой по принципу «ведущий-ведомый». Путь к целевой точке планируется для виртуального ведущего (ВВ) группы и каждый МР определяет собственный путь, зная свою позицию относительно ВВ в формации. С помощью алгоритма консенсуса все МР согласуются по значению текущего положения ВВ и затем решают идентичные задачи планирования пути. В результате все МР независимо строят одинаковые пути для ВВ. Этот метод вводит обратную связь в задачу управления формацией и обеспечивает согласованное движение всей группы МР при поддерживании заданной формации.

Задача планирования пути формулируется как оптимизационная задача МРС с учетом нелинейной динамики системы и невыпуклых ограничений, вызванных препятствиями. Для решения задачи МРС с ограничениями невыпуклыми используется последовательного выпуклого программирования (Sequential Convex Programming, SCP). рассматривается топология взаимодействия, обеспечивающая достижение консенсуса в сети МР. Результаты численного моделирования, выполненные в MATLAB, подтверждают эффективность предложенного подхода и демонстрируют его применимость практическим задачам координации группы МР реальных условиях.

II. МАТЕМАТИЧЕСКАЯ МОДЕЛЬ ДИНАМИКИ МР

В работе рассматривается группа двухколесных МР, с дифференциальным приводом. Кинематическая схема одного из них представлена на рис. 1. Здесь управление МР осуществляется через угловые скорости вращения левого (left) ω_l и правого (right) ω_r колес. Полагаем, что переменными состояния МР являются следующие переменные: x, y — координаты центра масс робота на плоскости в Земной системе координат (СК); V — модуль вектора скорости робота; θ — угол курса робота (угол между направлением движения робота и осью Ox.

Динамику двухколесного MP можно представить одной из самых простых представлений тремя степенями свободы с вектором (x, y, θ) [11]:

$$\begin{cases} \dot{x} = V \cos \theta \\ \dot{y} = V \sin \theta \end{cases}.$$

При этом взаимосвязь между линейной и угловой скоростями каждого из колес имеет вид:

$$V = \frac{R}{2}(\omega_l + \omega_r); \quad \dot{\theta} = \Omega = \frac{R}{L}(\omega_l - \omega_r),$$

где R – радиус колес; L – расстояние между колесами.

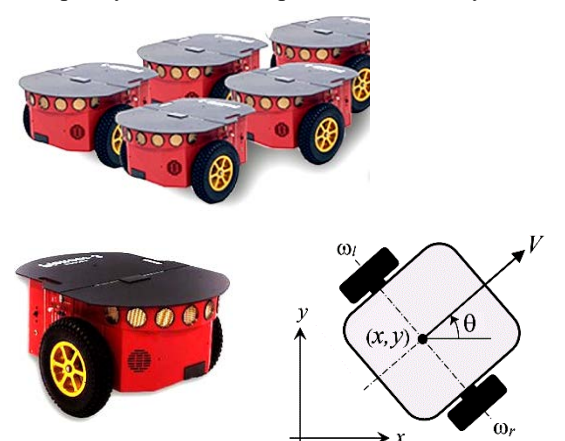


Рис. 1. Схематическое изображение двухколесного МР

III. Постановка задачи маршрутизации формации MP

Полагаем, что формация из n MP функционирует по стратегии «ведущий-ведомый», причем ВВ представлен центром формации. Конфигурация формации определяется положениями центров масс МР в локальной СК $O_0x_0y_0$, жестко связанной с центром формации. Ориентация формации в глобальной СК задается углом θ_0 , обозначающим поворот между осями O_0x_0 и Ox. Положение i-го МР относительно ВВ задается координатами Δx_i^c , Δy_i^c в связанной СК, определяющими его позицию в формации. Автором предложен распределенный алгоритм следования по пути для группы МР [12].

Сформулируем задачу планирования пути для ВВ, которая решается индивидуально каждым МР. Цель состоит в генерации путевых точек, направляющих ВВ к целевой точке с учетом избегания столкновений с препятствиями. Обозначим $P(t) = \left[x(t) \quad y(t)\right]^T$ — положение ВВ в момент времени t. Задача планирования пути формулируется как задача МРС со временем дискретизации h и опорной траекторией для ВВ:

$$P_{k+1}^{c} = P_{k}^{c} + hV \begin{bmatrix} \cos \theta^{c} \\ \sin \theta^{c} \end{bmatrix}, k = 0,..., N-1;$$

$$P_0^c = P(t)$$
,

где θ^c – угол между прямым путем к целевой точке и осью Ox; N – горизонт предсказания.

Целевая функция MPC на момент времени t задается следующим образом:

$$J_{t}(P_{t}) = \frac{1}{2} \sum_{k=0}^{N-1} \left[(P_{k} - P_{k}^{c})^{T} Q (P_{k} - P_{k}^{c}) + \Delta u_{k}^{T} R \Delta u_{k} \right] + \frac{1}{2} (P_{N} - P_{N}^{c})^{T} K (P_{N} - P_{N}^{c})$$

где Q , K и R — положительно определенные весовые матрицы; $\Delta u_k = u_k - u_{k-1}$ — приращение управления.

Динамика BB дискретизируется первым методом Эйлера:

$$P_{k+1} = P_k + hV \begin{bmatrix} \cos \theta(k) \\ \sin \theta(k) \end{bmatrix},$$

где $\theta(k)$ – управляющее воздействие на шаге k, также обозначаемое как u(k).

Управляющее воздействие ограничено диапазоном:

$$0^{\circ} \leq u(k) \leq 2\pi$$
.

Дополнительно вводятся ограничения на обход препятствий, обеспечивающие минимальное безопасное расстояние d_{\min} как от статических, так и от динамических препятствий:

$$\left\|P_k - P_k^j\right\|_2 \ge d_{\min}$$
,

где P_k^j — предсказанное положение j -го препятствия на шаге предсказания k .

Из-за нелинейной динамики системы и невыпуклых ограничений на обход препятствий результирующая задача оптимизации MPC является невыпуклой.

IV. МЕТОД ПОСЛЕДОВАТЕЛЬНОГО ВЫПУКЛОГО ПРОГРАММИРОВАНИЯ

Метод SCP [13] представляет собой локальный подход к решению невыпуклых задач оптимизации. Его суть заключается в итеративном приближении исходной невыпуклой задачи с помощью последовательности выпуклых подзадач. Основная идея аппроксимировать невыпуклые части целевой функции ограничений линейными или выпуклыми выражениями, при этом сохраняя выпуклые части в неизменном виде. Каждая подзадача решается с использованием эффективных методов выпуклой оптимизации.

Ограничения, задающие динамику системы, линеаризуются с помощью разложения в ряд Тейлора первого порядка относительно опорной траектории:

$$P_{k+1} = P_k + hV \begin{bmatrix} \cos \theta^c(k) \\ \sin \theta^c(k) \end{bmatrix} + hV \begin{bmatrix} -\sin \theta^c(k) \\ \cos \theta^c(k) \end{bmatrix} (\theta(k) - \theta^c(k))$$

Аналогично, ограничения на обход препятствий линеаризуются, что позволяет сформировать выпуклое допустимое множество:

$$\|P_k^c - P_k^j\|_2 + \frac{P_k^c - P_k^j}{\|P_k^c - P_k^j\|_2} (P_k - P_k^c) \ge d_{\min}.$$

После линеаризации на каждой итерации формируется подзадача SCP в виде выпуклой квадратичной задачи (Quadratic Program, QP):

$$J_t^*(P_t) = \min_{u_0,...,u_{N-1}} J_t(P_t), \quad 0^o \le u(k) \le 2\pi,$$

с ограничениями:

$$P_{k+1} = P_k + Bu_k + C$$
;

$$\begin{aligned} -\rho_{j}(k)P_{k} &\leq \left\| \rho_{j}(k) \right\|_{2}^{2} - d_{\min} \left\| \rho_{j}(k) \right\|_{2} - \rho_{j}(k)P_{k}^{c}; \\ P_{0} &= P(t), \\ B &= \begin{bmatrix} -hV\sin\theta^{c}(k) \\ hV\cos\theta^{c}(k) \end{bmatrix}; \end{aligned}$$

где

$$C = \begin{bmatrix} hV\cos\theta^{c}(k) + \theta^{c}(k)hV\sin\theta^{c}(k) \\ hV\sin\theta^{c}(k) - \theta^{c}(k)hV\cos\theta^{c}(k) \end{bmatrix};$$

$$\rho_i(k) = P_k^c - P_k^j.$$

V. ИНФОРМАЦИОННЫЙ КОНСЕНСУС В СЕТИ МР

Для описания взаимодействий между n MP используется неориентированный граф. Граф G порядка n определяется как пара G=(V,E), где V — множество вершин (MP), а E — множество ребер, представляющих двусторонние каналы связи между MP. Степень вершины $d(v_i)$ равен количеству соседних вершин, соединенных с ней ребрами. Граф является связным, если существует путь между любой парой вершин.

Элементы матрицы смежности $A \in \{0,1\}^{n \times n}$ матрицы степеней D графа G имеют вид:

$$a_{ij} = \begin{cases} 1, \ \{i, j\} \in E \\ 0, \ \{i, j\} \notin E \end{cases}; \quad d_{ij} = \begin{cases} \sum_{h=1, h \neq i}^{n} a_{ih}, \ i = j \\ 0, \ i \neq j \end{cases}.$$

Матрица Лапласа $L \in \mathbb{R}^{n \times n}$ определяется как:

$$L = D - A$$
.

Матрица Лапласа симметрична и положительно полуопределенная. Ее собственные значения упорядочены по возрастанию:

$$\lambda_1(L) \le \lambda_2(L) \le \cdots \le \lambda_n(L)$$
, $\lambda_1(L) = 0$.

Пусть \hat{s}_i — оценка i -м агентом скалярного параметра $s \in \mathbb{R}$. Динамика непрерывного консенсуса задается уравнением:

$$\dot{\hat{S}} = -L\hat{S} \; ,$$

где $\hat{S} = [\hat{s}_1 \quad \cdots \quad \hat{s}_n]^T$ — вектор текущих, а $\hat{S}(0) = \hat{S}_0$ — вектор начальных оценок.

Теорема [14]. Пусть граф G связен. Тогда значение вектор оценок \hat{S} сходится к значению:

$$\lim_{t\to\infty} \hat{S} = \frac{1_n^T \hat{S}_0}{n} 1_n,$$

со скоростью, определяемой вторым собственным значением матрицы Лапласа $\lambda_2(L)$.

В общем случае, динамика многомерного консенсуса в непрерывном времени записывается как:

$$\dot{\hat{S}} = -L \otimes I_{\dots} \hat{S} ,$$

где $\hat{S} \in \mathbb{R}^{m \cdot n}$ — вектор оценок; m — количество оцениваемых параметров, I_m — единичная матрица размерности m; \otimes — произведение Кронекера.

Аналогично, динамика многомерного консенсуса в дискретном времени описывается уравнением:

$$\hat{S}[k+1] = -\overline{A} \otimes I_{m} \hat{S}[k],$$

где элементы матрицы смежности \overline{A} определяется как:

$$\overline{a}_{ij} = \begin{cases} 1/d(v_i), & \{i, j\} \in E \\ 0, & \{i, j\} \notin E \end{cases}.$$

При движении MP внешние возмущения вызывают их отклонения от желаемых позиций в формации, что приводит к различиям в оценках положения ВВ. Для устранения отклонений применяется протокол консенсуса, позволяющего MP согласованно определять текущее положение ВВ [15].

Пусть в момент времени t задача MPC повторно решается для определения следующей путевой точки, а τ — время, за которое консенсус достигается. Для обеспечения согласованного планирования пути необходимо, чтобы все MP достигли консенсуса по положению BB к моменту времени t. Таким образом, процесс консенсуса инициируется до момента $t-\tau$. Начальная оценка положения BB i-ым MP задается следующим образом:

$$\hat{P}_{i}^{L}(t) = \hat{P}^{i}(t) - R(\theta(t-\tau)) \begin{bmatrix} \Delta x_{i}^{c} \\ \Delta y_{i}^{c} \end{bmatrix},$$

где $R(\theta(t-\tau))$ – матрица поворота, определяемая как:

$$R(\theta(t-\tau)) = \begin{bmatrix} \cos\theta(t-\tau) & -\sin\theta(t-\tau) \\ \sin\theta(t-\tau) & \cos\theta(t-\tau) \end{bmatrix};$$

и $\hat{P}^{i}(t)$ — прогнозируемое положение i -го MP, полученное путем интегрирования от $t-\tau$ до t его модели.

VI. Результаты компьютерного моделирования

В качестве примера рассмотрено численное моделирование в среде МАТLAВ группы из трех МР, совместно планирующих пути для ВВ и поддерживающих формацию в виде равнобедренного треугольника. Взаимодействие между МР в формации задается через топологию связи, представленную матрицей смежности:

$$\overline{A} = \begin{bmatrix} 1/3 & 1/3 & 1/3 \\ 1/2 & 1/2 & 0 \\ 1/2 & 0 & 1/2 \end{bmatrix}.$$

На рис. 2 показан пример достижения консенсуса по координате *х* ВВ. Различия в оценках положения возникают из-за отклонений МР от желаемых позиций в формации в ходе движения, вызванных внешними возмущениями. Как видно, процесс консенсуса позволяет привести оценки к среднему значению начальных оценок, предоставленных каждым из МР. Здесь вводится обратная связь (formation feedback) в процесс управления формацией, что улучшает согласованность действий и повышает устойчивость системы к возмущениям.

Рис. 3 демонстрируют результаты планирования путевых точек для BB при различных горизонтах

предсказания N=10 и N=20. В обоих случаях рассматриваются только статические препятствия, представленные в виде кругов, безопасное расстояние до центров которых составляет $d_{\min}=80~\text{м}$. Алгоритм успешно генерирует последовательность путевых точек, направляющих BB от начальной позиции к целевой точке, обеспечивая при этом безопасное движение с обходом препятствий.

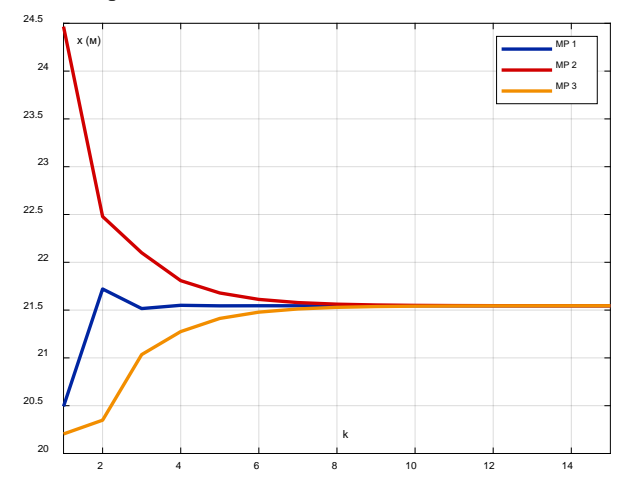


Рис. 2. Консенсус по координате x виртуального ведущего

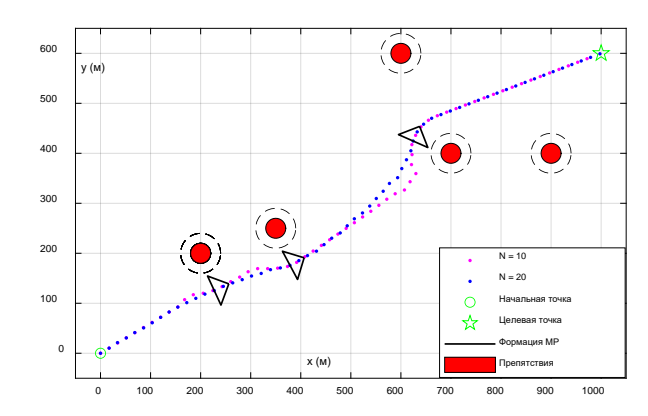


Рис. 3. Планирование путевых точек при N = 10 и N = 20.

VII. ЗАКЛЮЧЕНИЕ

Компьютерное моделирование в среде МАТLAВ подтвердило эффективность предложенного метода согласованного планирования пути для формации МР. Реализуемая с помощью консенсуса обратная связь, основанная исключительно на локальном обмене информацией, обеспечивает устойчивость и масштабируемость системы в условиях ограниченной коммуникации и динамически изменяющейся среды.

Список литературы

- [1] Yu Q., Zhou J., A Review of Global and Local Path Planning Algorithms for Mobile Robots // 8th International Conference on Robotics, Control and Automation (ICRCA). Shanghai, China, 2024, pp. 84-90.
- [2] LaValle S.M. Rapidly-exploring random trees: A new tool forpath planning. Technical Report TR-98–11. Computer Science Department, Iowa State University, Ames, IA, USA,1998.
- [3] Kennedy J., Eberhart R. Particle swarm optimization. Proceedings of ICNN'95 - International Conference on Neural Networks. Perth, WA, Australia: IEEE, 1995, pp. 1942–1948.
- [4] He Z., Chu X., Liu C., Wu W., A novel model predictive artificial potential field based ship motion planning method considering COLREGs for complex encounter scenarios // ISA Transactions, vol. 134, 2023, pp. 58-73.
- [5] Филимонов А.Б., Филимонов Н.Б. Методология искусственных потенциальных полей в задачах локальной навигации мобильных роботов // Интеллектуальные системы, управление и мехатроника. Матер: III Всеросс. науч.-техн. конф. Севастополь: СевГУ, 2017. с. 157–160.
- [6] Hart P.E., Nilsson N.J., Raphael B. A Formal Basis for the Heuristic Determination // IEEE Transactions on Systems Science and Cybernetics, 1968.
- [7] Miao C., Chen G., Yan C., Wu Y. Path planning optimization of indoor mobile robot based on adaptive ant colony algorithm. // Computers & Industrial Engineering, vol. 156, Jun. 2021, pp. 107230.
- [8] Веремей Е.И., Сотникова М.В. Управление с прогнозирующими моделями: учебное пособие. Воронеж: Изд-во «Научная книга», 2016. 214 с.
- [9] Фам К.Ф. Метод управления с прогнозирующей моделью в задаче отслеживания углового движения БПЛА // Journal of Advanced Research in Technical Science, 2025. № 48.
- [10] Luis C.E., Schoellig A.P. Trajectory Generation for Multiagent Point-To-Point Transitions via Distributed Model Predictive Control // IEEE Robotics and Automation Letters, vol. 4, April 2019, no. 2, pp. 375-382
- [11] Бурдаков С.Ф., Мирошник И.В., Стельмаков Р.Э. Системы управления движением колесных роботов. СПб.: Наука, 2001. 227с.
- [12] Фам К.Ф. Алгоритмы согласованного следования по путям для группы БПЛА // Journal of Advanced Research in Technical Science. 2025. № 47. с. 64-70.
- [13] Boyd S. Sequential convex programming, Lecture Notes, Stanford University, 2008.
- [14] Mesbahi M., Magnus E. Graph Theoretic Methods in Multiagent Networks. STU-Student edition, Princeton University Press, 2010, 424p.
- [15] Фам К.Ф. Информационный консенсус в коопервативном управлении мультироботными системами // Journal of Advanced Research in Technical Science. 2025. № 48.